

川田工業(株) 正会員 ○ 西土 隆幸  
 川田工業(株) 正会員 前田 研一  
 川田工業(株) 正会員 米田 昌弘

## 1. まえがき

吊橋の低次振動数に及ぼすセンタースティの効果については、従来より多數の研究が実施されている。しかしながら、吊橋固有の古典的な理論<sup>1)</sup>あるいは模度理論<sup>2)</sup>は十分に解析できなかつたことから、一方で、骨組理論による解析が一般化した今日でも、静的荷重設計法によりセンタースティの断面が決定せられてゐるなどから、十分な検討がなされていゝと言ひ難い。従来の研究ではセンタースティの設置により吊橋の鉛直たわみやねじれの逆対称性の振動数が上昇するこゝが指摘されていゝ。しかしながら、その上昇の程度は、吊橋の構造諸元によつて変化するものと予想されるこゝ、エリ=、センタースティも構造部材の一部であり、その剛性の大きさによつて、柱脚1次振動に影響するこゝも考えられる。そこで本研究では吊橋の振動特性を支配する無次元パラメータに着目して、センタースティの断面積を変化させた場合の固有振動解析を実施し、吊橋の低次振動数に及ぼすセンタースティの効果について検討した。

## 2. 解析モデル

今回、対象とした解析モデルは表-1に示すよつて  $L/L = 0$  (単径間), 0.3, 0.5 (3径間) の3種類である。また、断面諸量は表-2に示す通りであり、無次元の力学パラメータ<sup>2)</sup>に着目して整理すると  $P_{1,V} = 10$ ,  $P_{1,T} = 0.1$ ,  $P_2 = 2.4$  および、 $P_{1,V} = 50$ ,  $P_{1,T} = 0.6$ ,  $P_2 = 2.4$  となる。吊橋の最低次モードはこれら3種類の無次元パラメータの大まかに依存し、模度理論で算出した結果、表-3のようにならう。なお、固有値解析に当つては、簡単のため、軽減性ヒケーブル断面積を変化させて上述の無次元パラメータ値を調整した。

表-1 モデル名

モデル名	$L/L = 0$ (単径間)
TYPE A	0 (単径間)
TYPE B	0.3 (3径間)
TYPE C	0.5 (3径間)

## 3. 固有振動解析の計算結果

計算は、死荷重時の平衡状態の線形化手法（変形法）によつて、た。

鉛直たわみ逆対称1次の固有振動モードを一例として図-1に示す。また、センタースティの断面積を増加させ

右の場合の固有振動数を模度

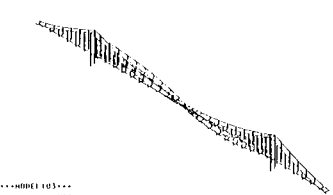
理論より求めた固有振動数を除することにより無次元化した結果を、 $L/L$ ,  $P_2$  の値によつて、まとめたものを図-2～図-5に示す。左方、図-2～図-5のV.S., V.A は鉛直たわみ対称1次、逆対称1次を、T.S., T.A はねじれ対称1次、逆対称1次を、E.T. はねじれ剛性GJによる。

表-2 解析モデル 断面諸量

項目	型式	$P_{1,V}=10$ $P_{1,T}=0.1$	$P_{1,V}=50$ $P_{1,T}=0.6$
単位重量	メインケーブル $w_c$ $t/m$	5.164	5.164
吊構造部材 $w_s$ $t/m$	13.200	13.200	
合計 $w$ $t/m$	18.364	18.364	
極慣性モーメント $I_b$ $t^3 m^3$	125.306	125.306	
メインケーブル $b$ $m$	23.0	23.0	
メインケーブル $A_m$ $m^2$	$P_2 = 2 / 0.423$ $P_2 = 4 / 0.848$	$P_2 = 2 / 0.423$ $P_2 = 4 / 0.848$	
サブケーブル $b$ $m$	100	100	
サブケーブル $H_w$ $t$	23125	23125	
面内断面積 $I_x$ $m^4$	11.012	0.440	
面外断面積 $I_y$ $m^4$	58.119	0.629	
ねじれ剛性 $GJ$ $tm^4$	$3.06 \times 10^7$	$0.509 \times 10^7$	

表-3 最低次モード

Parameter	$L/L$		
	0	0.3	0.5
鉛直たわみ $P_{1,V}=10$	Asym	Asym	Sym
鉛直たわみ $P_{1,V}=50$	Asym	Asym	Sym
ねじれ $P_{1,T}=0.1$	Sym	Sym	Sym
ねじれ $P_{1,T}=0.6$	Asym	Sym	Sym



...MODEL 103...  
 MODE PERIOD FREQUENCY  
 6.5465 (SEC)  
 0.1516 (HZ)  
 PERIODIC MASS 200.931 0.960 0.000 0.000 0.000  
 EFFECTIVE MASS 200.931 0.960 0.000 0.000 0.000

図-1 固有振動モード図の一例

$$P_2 = \frac{E_m A_m J^2}{L E H_w L} \quad P_{1,V} = L \sqrt{\frac{H_w}{E I_x}} \quad P_{1,T} = \frac{H_w (b/Z)^2}{G J}$$

E: 構造物のヤング係数 ( $N/mm^2$ )  
 E<sub>m</sub>: メインケーブル "

#### 4. 計算結果と考察

まず、 $P_{1,v}=10$ ,  $P_{1,t}=0.1$ をもとめ、ケーブル剛性に比べて補剛材の剛性が比較的大きい場合について考察する。 $P_2$ ,  $L_1/L$ は関係なく、センターステイの断面積を $0.02\text{m}^2$ 以上( $P_2=2$ のとき $A_c/A_m=0.01$ ,  $P_2=4$ のとき $A_c/A_m=0.005$ ) (=ヨコヒダ直達対称)次の振動数は1.16程度増加する。一方、ゆじれ直達対称(1次の振動数)は、センターステイの断面積の增加に伴い、 $L_1/L$ は関係なく、緩やかに増加し、 $A_c=10$ のとき $P_2=2$ で1.12程度、 $P_2=4$ で1.19程度、 $W_c/W$ も少しある増加する。

次に、 $P_{1,v}=50$ ,  $P_{1,t}=0.6$ をもとめ、ケーブル剛性に比べて補剛材の剛性が比較的小さい場合について考察する。 $P_2$ ,  $L_1/L$ は関係なく、センターステイの断面積を $0.02\text{m}^2$ 以上(=ヨコヒダ直達対称)次の振動数は、1.07程度増加する。一方、ゆじれ直達対称(1次の振動数)は、センターステイの断面積の増加に伴い、 $L_1/L$ は関係なく、緩やかに増加し、 $A_c=10$ のとき $P_2=2$ で1.16程度、 $P_2=4$ で1.19程度、 $W_c/W$ も少しある増加する。また、全直立柱、ゆじれの柱(1次の振動数)は、 $P_2$ ,  $P_{1,v}$ ,  $P_{1,t}$ ,  $L_1/L$ は関係なく、ほとんど変化しないことが分る。

実際の吊橋における無次元パラメータ $L_1/L$ ,  $P_2$ ,  $P_{1,v}$ および $P_{1,t}$ は、一概には、今回の計算で対象とした範囲内ではほとんどが通り。これらより、これらの計算結果から実橋におけるセンターステイの結果をある程度推察するところ可能である。

#### 5. あとがき

センターステイを設置した場合の鉄道トロッコとゆじれの並行柱(1次振動数)の上昇程度は、吊橋の構造特性に依存するところを指摘せざるを得ない。一方、支柱1次の振動数への影響は、どのパラメータを変化させても、ほとんど変化しないことが分る。ただし、今回の計算では、簡単のため、柔剛性とケーブル断面積を変化させ、無次元の力学パラメータを調整したが、他の諸元を変化させた場合の結果は幾つか、変化するものと予想される。それにつけては今後の検討課題としている。最後に本研究に付し御賜稿いたさりた法政大学大地洋三教授に深く感謝致します。

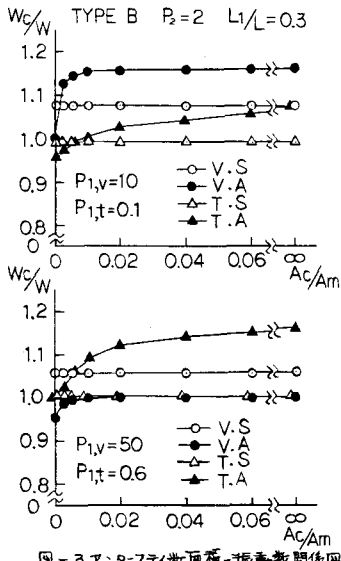


図-3 センターステイ断面積-振動数関係図

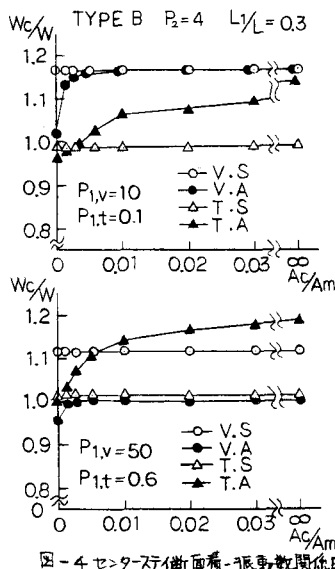


図-4 センターステイ断面積-振動数関係図

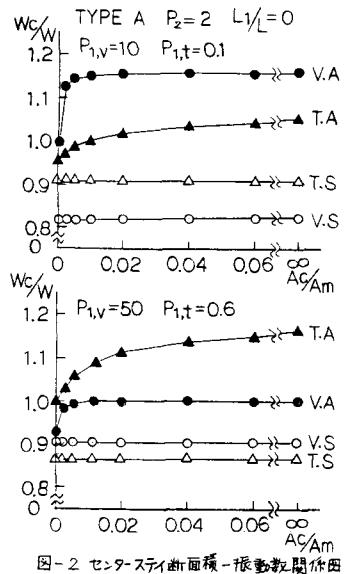


図-5 センターステイ断面積-振動数関係図

(参考文献) 1) Blaich, F. et al: The Mathematical Theory of Vibration in Suspension Bridges, U.S. Govt. Pr. office, 1950  
2) 木田, 伊藤: 長径高吊橋の耐震安定性についての検討, 土木学会論文集, I, 第36号, Pt.3 ~ Pt.6